

УДК 664.78.42

Решение методом быстрых разложений задачи о сушке зерна

А.Д. Чернышов¹, И.О. Павлов¹, Е.В. Воронова¹, В.В. Горяйнов²

¹Воронежская государственная технологическая академия

²Воронежский государственный архитектурно-строительный университет

E-mail: chernyshovad@mail.ru, gorvit77@mail.ru

Приведены краткие сведения о построении быстрых разложений. На их основе рассмотрен нестационарный термический процесс сушки зерна, описываемый системой уравнений А.В. Лыкова. Решение имеет аналитическую форму в виде суммы специальной граничной функции и быстрых рядов Фурье таким образом, что в рядах можно сохранять всего по одному первому слагаемому, поскольку последующие члены быстро убывают. Это упрощение приводит к линейной системе четырех обыкновенных дифференциальных уравнений первого порядка с постоянными коэффициентами. При этом максимальная погрешность составляет 10^{-2} . Если требуется более высокая точность ($\sim 10^{-3}$), то в рядах следует учитывать по два члена и система будет содержать шесть подобных уравнений, и т. д. Данное решение позволяет вычислить температуру и влагосодержание в любой точке зерна в любой момент времени.

Ключевые слова: сушка, температура, влагосодержание, зерно пшеницы, шар, разложения, быстрые ряды Фурье.

Введение

Для решения задач тепломассопереноса применяются различные методы: сеток [1], прямых [2], разделения переменных [3], интегральных преобразований Лапласа [4]. Из приближенных аналитических методов механики сплошных сред одним из эффективных является метод возмущений [5]. Аналитические решения можно также получать методом лучевых разложений в степенные ряды [6], которые могут быть применены и в задачах тепломассопереноса.

Исследуемым пищевым продуктом является зерно пшеницы, принимаемое в известных работах однородным материалом. В работе [3] отдельное зерно считается бесконечным цилиндром и для решения рассматриваемой задачи используется метод прямых. В работе [4] форму зерна аппроксимируют цилиндром конечных размеров и задачу решают разностным методом, в работе [7] зерно — прямоугольный параллелепипед, три ребра которого имеют размеры: $a_0 = 1,6 \div 3,8$, $b_0 = 1,8 \div 4,0$, $c_0 = 4,8 \div 8,6$. Подобные разнообразие приближенные геометрические представления формы зерна обусловлены определенными проблемами при использовании соответствующих этим случаям математических методов.

В настоящей статье с помощью метода быстрых разложений, разработанного в работах [8, 9], рассматривается внутренний тепломассообмен процесса сушки зерна, описываемого математической моделью А. В. Лыкова [1].

Краткие сведения о быстрых разложениях

Пусть $f(x) \in C^{(1)}$ ($0 < x < a$), запишем классический ряд Фурье:

$$f(x) = \sum_{m=1}^{\infty} f_m \sin m\pi \frac{x}{a}, \quad f_m = \frac{2}{a} \int_0^a f(x) \sin m\pi \frac{x}{a} dx, \quad x \in (0, a). \quad (1)$$

Если $f(0) \neq 0$, $f(a) \neq 0$, то ряд (1) медленно сходится внутри отрезка $(0, a)$ и расходится на его границах при $x = 0$, $x = a$, его нельзя почленно дифференцировать, поскольку для производных получим расходящиеся ряды [10]. В этом можно практически убедиться при разложении в ряд Фурье, например, функции $f(x) = x$. Таким образом, классические ряды Фурье неэффективны при решении различных проблем с дифференциальными уравнениями.

В работах [8, 9] предложено использовать следующие модификации рядов Фурье, которые будем называть быстрыми синус- или косинус-разложениями:

$$\begin{aligned} f(x) &= M_{2p}(x) + \sum_{m=1}^{\infty} f_m \sin m\pi \frac{x}{a}, \\ g(x) &= M_{2p-1}(x) + g_0 + \sum_{m=1}^{\infty} g_m \cos m\pi (x/a), \end{aligned} \quad (2)$$

где $M_{2p}(x)$ и $M_{2p-1}(x)$ называются граничными функциями. Эти функции, взятые из класса полиномов наименьшей степени, можно представить в виде

$$\begin{aligned} M_{2p}(x) &= f(0) \left(1 - \frac{x}{a}\right) + f(a) \frac{x}{a} + \sum_{i=1}^p f^{(2i)}(0) A_{2i}(x) + \sum_{i=1}^p f^{(2i)}(a) B_{2i}(x), \\ B_{2i}(x) &= F_{2i}(x) - \frac{x}{a} F_{2i}(a), \quad F_{2i}(x) = \int_0^x \left[\int_0^x B_{2i-2}(x) dx \right] dx, \quad B_0(x) = \frac{x}{a}. \end{aligned} \quad (3)$$

$$A_{2i}(x) = \Phi_{2i}(x) - \frac{x}{a} \Phi_{2i}(a), \quad \Phi_{2i}(x) = \int_0^x \left[\int_0^x A_{2i-2}(x) dx \right] dx, \quad A_0(x) = 1 - \frac{x}{a},$$

$$M_{2p+1}(x) = g'(0) \left(x - \frac{x^2}{2a}\right) + g'(a) \frac{x^2}{2a} + \sum_{i=1}^p g^{(2i+1)}(0) A_{2i+1}(x) + \sum_{i=1}^p g^{(2i+1)}(a) B_{2i+1}(x), \quad (4)$$

$$A_{2i+1}(x) = \int_0^x A_{2i}(x) dx, \quad B_{2i+1}(x) = \int_0^x B_{2i}(x) dx, \quad i = 1 \div p \geq 1.$$

Здесь обозначения заимствованы из работы [8]. Ряды (2) допускают почленное дифференцирование до производных $(2p+2)$ или, соответственно, до $(2p+1)$ порядков включительно. При этом для ряда по синусам производные до $(2p+1)$ порядка включительно или для ряда по косинусам производные до $2p$ порядка, равномерно сходятся всюду при $x \in [0, a]$, а производная порядка $(2p+2)$ для ряда

по синусам или порядка $(2p+1)$ для ряда по косинусам сходятся при $x \in (0, a)$ и в общем случае расходятся на границах $x=0, x=a$.

Граничные функции (3) и (4) обеспечивают высокую скорость сходимости рядов (2), поскольку имеют место оценки для коэффициентов разложений:

$$f_m \sim (m\pi)^{-(2p+3)}, \quad g_m \sim (m\pi)^{-(2p+2)}. \quad (5)$$

При использовании $M_1(x)$ или $M_2(x)$ в рядах (2) имеем оценки:

$$f_m \sim (m\pi)^{-5}, \quad g_m \sim (m\pi)^{-4}. \quad (6)$$

Оценки (6) указывают на то, что для обеспечения погрешности менее 1 % в ряде по синусам достаточно удерживать только первое слагаемое, в ряде по косинусам — первые два слагаемых. Подобная быстрая сходимость данных рядов значительно сокращает объем вычислительных работ на ЭВМ и позволяет получать решения различных задач в аналитическом виде. С ростом целого параметра p в формулах (2), (3) скорость сходимости рядов (2) в соответствии с оценкой (5) растет, но при этом увеличивается количество неизвестных величин: $f(0), f(a), f''(0), f''(a), \dots, f^{(2p)}(0), f^{(2p)}(a)$, через которые выражается граничная функция $M_{2p}(x)$.

Ввиду существенных качественных отличий (2) от классических рядов Фурье (1) в дальнейшем подобные равенства будем называть быстрыми разложениями, а используемые при этом ряды — быстрыми рядами Фурье.

При рассмотрении некоторой краевой задачи неизвестную функцию $f(x)$ следует представить быстрым разложением. Тогда в разложениях по синусам решение сведется к нахождению постоянных

$$f(0), f(a), f''(0), f''(a), \dots, f^{(2p)}(0), f^{(2p)}(a), \{f_m\}, m=1, 2, \dots, \quad (7)$$

или при использовании разложений по косинусам постоянных

$$g'(0), g'(a), g'''(0), g'''(a), \dots, g^{(2p-1)}(0), g^{(2p-1)}(a), \{g_m\}, m=0, 1, \dots \quad (8)$$

Относительно этих постоянных составляется замкнутая система алгебраических уравнений и строится решение в аналитическом виде. В случае нестационарных процессов данные коэффициенты будут зависеть от времени и для них составляется система обыкновенных дифференциальных уравнений.

Алгоритм применения метода быстрых разложений

1. Исходя из удобств вычислений по постановке краевой задачи выбрать величину целого параметра p и тип быстрого разложения (2).

2. При использовании синус-разложения от левой и правой частей (2) вычислить все четные производные $2j$ -го порядка на концах отрезка $x=0, x=a$, где $j=1 \div p$. Для косинус-разложения потребуются все нечетные производные $2j-1$ -го порядка на концах отрезка $x=0, x=a$, которые подставим в граничные функции M_{2p} или M_{2p-1} соответственно.

3. Умножить левую и правую части синус-разложения на $\sin n\pi x$, или в случае косинус-разложения — на 1 и затем на $\cos n\pi x$, и проинтегрировать в пределах $x \in [0, a]$ (аналог вычисления коэффициентов Фурье).

Применение этого алгоритма к дифференциальным уравнениям краевой задачи, начальным и граничным условиям приводит к замкнутой системе либо обыкновенных дифференциальных уравнений, либо к системе алгебраических уравнений. В рассматриваемой ниже задаче о сушке зерна при использовании функции M_2 вследствие быстрой сходимости с оценкой (6) в рядах можно ограничиться одним–тремя слагаемыми. Система будет состоять всего из четырех–восьми линейных обыкновенных дифференциальных уравнений с постоянными коэффициентами. Вследствие высокой скорости сходимости метод быстрых разложений позволяет решать многие прикладные задачи повышенной трудности: с подвижными границами, с фазовыми превращениями, многомерные нелинейные задачи, заменять сложные нелинейные граничные условия на более удобные линейные условия и т. д. Покажем применение метода на примере задачи о сушке зерна.

Постановка задачи

Отдельное зерно злаковых культур имеет весьма сложную форму, которую в первом приближении будем аппроксимировать шаром радиуса R_0 , не имеющим углов и являющимся простейшей классической фигурой, наиболее близкой к действительной форме зерна. Решение задачи, основанной на системе уравнений модели А.В. Лыкова, будем строить с помощью быстрых синус-разложений неизвестных функций.

Основными характеристиками нестационарного процесса сушки являются температура $\theta(x,t)$, влагосодержание $u(x,t)$ и давление $P(x,t)$, где t — время, x — радиус. Из экспериментов [4] известно, что в условиях, близких к атмосферным, которые встречаются на практике, давление слабо влияет на сушку, и в целях упрощения модели в дальнейшем будем пренебрегать его влиянием.

Введем следующие безразмерные переменные: $r = x/R_0$ — радиус, отнесенный к эффективному радиусу зерна R_0 ; $T = (\theta - \theta_0)/\theta_c$ — разность температуры исследуемого тела и его начальной температуры, отнесенная к температуре среды; время t , отнесенное к некоторому времени t_0 ($t_0 = 1$); $U = u/u_0$ — влагосодержание исследуемого тела, отнесенное к его начальному значению. Запишем систему уравнений А.В. Лыкова без учета давления в безразмерной форме в сферических координатах

$$\begin{aligned} \frac{\partial T}{\partial \tau} &= A_{11} \left(\frac{\partial^2 T}{\partial r^2} + \frac{2}{r} \frac{\partial T}{\partial r} \right) + A_{12} \left(\frac{\partial^2 U}{\partial r^2} + \frac{2}{r} \frac{\partial U}{\partial r} \right), \\ \frac{\partial U}{\partial \tau} &= A_{21} \left(\frac{\partial^2 T}{\partial r^2} + \frac{2}{r} \frac{\partial T}{\partial r} \right) + A_{22} \left(\frac{\partial^2 U}{\partial r^2} + \frac{2}{r} \frac{\partial U}{\partial r} \right), \quad r \in (0, 1], \quad \tau \geq 0, \quad \tau = t/t_0 \end{aligned} \quad (9)$$

с граничными условиями третьего рода на шаровой поверхности зерна

$$\begin{aligned} -\left. \frac{\partial T(r, \tau)}{\partial r} \right|_{r=1} + a_1(1 - T(r, \tau)|_{r=1}) - a_2(U(r, \tau)|_{r=1} - u_p/u_0) &= q_t \exp(-\alpha\tau), \\ \left. \frac{\partial U(r, \tau)}{\partial r} \right|_{r=1} + b_1(1 - T(r, \tau)|_{r=1}) + b_2(U(r, \tau)|_{r=1} - u_p/u_0) &= q_u \exp(-\alpha\tau), \end{aligned} \quad (10)$$

где u_p, u_0 — соответственно равновесное и начальное влагосодержания, α^{-1} — некоторая экспериментальная постоянная, имеющая смысл времени релаксации теплового удара, а величины q_t, q_u составляют

$$q_t = a_1 - a_2(1 - u_p/u_0), \quad q_u = b_1 + b_2(1 - u_p/u_0). \quad (11)$$

Начальные условия имеют вид

$$T(r, 0) = 0, \quad U(r, 0) = 1. \quad (12)$$

Правые части в (10) подобраны так, чтобы граничные условия при $\tau = 0$ и начальные (12) при $r = 1$ были согласованы между собой и, кроме того, при $\tau \rightarrow \infty$ правые части в (10) быстро стремились к нулю.

Решение задачи

К соотношениям (10) добавим условия ограниченности

$$|T, U| < \infty \text{ при } r \rightarrow 0. \quad (13)$$

Для упрощений сделаем замену неизвестных функций:

$$T = \frac{Z(r, \tau)}{r}, \quad U = \frac{W(r, \tau)}{r}, \quad (Z, W) \in C^{(3)}(0 < r \leq 1). \quad (14)$$

Тогда уравнения (9) примут более простую форму:

$$\frac{\partial Z}{\partial \tau} = A_{11} \frac{\partial^2 Z}{\partial r^2} + A_{12} \frac{\partial^2 W}{\partial r^2}, \quad \frac{\partial W}{\partial \tau} = A_{21} \frac{\partial^2 Z}{\partial r^2} + A_{22} \frac{\partial^2 W}{\partial r^2}. \quad (15)$$

Поскольку T и U при $r \rightarrow 0$ — ограниченные функции по условию (13), что согласуется с физическим смыслом задачи, то из (14) имеем

$$Z(r, \tau)|_{r=0} = W(r, \tau)|_{r=0} = 0. \quad (16)$$

Таким образом, задача сводится к нахождению решения системы дифференциальных уравнений (15), удовлетворяющего граничным условиям (10), (16) и начальным условиям (12). Сложность данной начально-краевой задачи заключается не только в системе (15), но и в постановке граничных условий различного рода: при $r = 1$ — условия (10) смешанного типа, при $r = 0$ — условия Дирихле (16). Подобная сложность успешно преодолевается при использовании быстрых разложений. В этой связи отметим: если бы решение было найдено, то на сферической границе зерна при $r = 1$ функции Z и W принимали бы некоторые значения

$$Z|_{r=1} = \phi(\tau), \quad W|_{r=1} = \psi(\tau), \quad (17)$$

где $\phi(\tau)$, $\psi(\tau)$ — пока неизвестные функции.

Возникает следующая новая задача: найти решение системы (15) с начальным условием (12) и граничными условиями (10), (16) и (17), где неизвестные $\phi(\tau)$, $\psi(\tau)$ следует определить из граничных условий (10). Решение представим следующими быстрыми разложениями:

$$Z = M_z + \sum_{m=1}^{\infty} Z_m(\tau) \sin(m\pi r), \quad W = M_w + \sum_{m=1}^{\infty} W_m(\tau) \sin(m\pi r). \quad (18)$$

Граничные функции второго порядка M_z и M_w с учетом условий (16) и (17) могут быть получены из (3) при $p = 1$:

$$\begin{aligned} M_z &= \phi(\tau)r + \phi_0(\tau) \left(\frac{r^2}{2} - \frac{r^3}{6} - \frac{r}{3} \right) + \phi_1(\tau) \left(\frac{r^3}{6} - \frac{r}{6} \right), \quad \phi_0(\tau) = \frac{\partial^2 Z}{\partial r^2} \Big|_{r=0}, \quad \phi_1(\tau) = \frac{\partial^2 Z}{\partial r^2} \Big|_{r=1}, \\ M_w &= \psi(\tau)r + \psi_0(\tau) \left(\frac{r^2}{2} - \frac{r^3}{6} - \frac{r}{3} \right) + \psi_1(\tau) \left(\frac{r^3}{6} - \frac{r}{6} \right), \quad \psi_0(\tau) = \frac{\partial^2 W}{\partial r^2} \Big|_{r=0}, \quad \psi_1(\tau) = \frac{\partial^2 W}{\partial r^2} \Big|_{r=1}. \end{aligned} \quad (19)$$

Теперь решение задачи можно представить зависимостями

$$\begin{aligned}
 Z &= \varphi(\tau)r + \varphi_0(\tau)\left(\frac{r^2}{2} - \frac{r^3}{6} - \frac{r}{3}\right) + \varphi_1(\tau)\left(\frac{r^3}{6} - \frac{r}{6}\right) + \sum_{m=1}^{\infty} Z_m(\tau)\sin(m\pi r), \\
 W &= \psi(\tau)r + \psi_0(\tau)\left(\frac{r^2}{2} - \frac{r^3}{6} - \frac{r}{3}\right) + \psi_1(\tau)\left(\frac{r^3}{6} - \frac{r}{6}\right) + \sum_{m=1}^{\infty} W_m(\tau)\sin(m\pi r), \\
 T &= \varphi(\tau) + \varphi_0(\tau)\left(\frac{r}{2} - \frac{r^2}{6} - \frac{1}{3}\right) + \varphi_1(\tau)\left(\frac{r^2}{6} - \frac{1}{6}\right) + \frac{1}{r}\sum_{m=1}^{\infty} Z_m(\tau)\sin(m\pi r), \\
 U &= \psi(\tau) + \psi_0(\tau)\left(\frac{r}{2} - \frac{r^2}{6} - \frac{1}{3}\right) + \psi_1(\tau)\left(\frac{r^2}{6} - \frac{1}{6}\right) + \frac{1}{r}\sum_{m=1}^{\infty} W_m(\tau)\sin(m\pi r).
 \end{aligned} \tag{20}$$

Функции Z и W в виде (20) по построению удовлетворяют граничным условиям (16), (17) и выражены через неизвестные функции только времени: $\phi(\tau)$, $\phi_0(\tau)$, $\phi_1(\tau)$, $\psi(\tau)$, $\psi_0(\tau)$, $\psi_1(\tau)$, $Z_m(\tau)$, $W_m(\tau)$, $m = 1, 2, \dots$. Перечисленные неизвестные найдем, выполнив дифференциальные уравнения (15), граничные (10) и начальные условия (12). Для этого вначале подставим Z и W из (20) в систему дифференциальных уравнений (15):

$$\begin{aligned}
 &\phi'(\tau)r + \phi_0'(\tau)\left(\frac{r^2}{2} - \frac{r^3}{6} - \frac{r}{3}\right) + \phi_1'(\tau)\frac{1}{6}(r^3 - r) + \sum_{m=1}^{\infty} Z_m'(\tau)\sin(m\pi r) = \\
 &= A_{11}\left[\phi_0(\tau)(1-r) + \phi_1(\tau)r - \sum_{m=1}^{\infty} Z_m(\tau)m^2\pi^2\sin(m\pi r)\right] + \\
 &+ A_{12}\left[\psi_0(\tau)(1-r) + \psi_1(\tau)r - \sum_{m=1}^{\infty} W_m(\tau)m^2\pi^2\sin(m\pi r)\right], \\
 &\psi'(\tau)r + \psi_0'(\tau)\left(\frac{r^2}{2} - \frac{r^3}{6} - \frac{r}{3}\right) + \psi_1'(\tau)\frac{1}{6}(r^3 - r) + \sum_{m=1}^{\infty} W_m'(\tau)\sin(m\pi r) = \\
 &= A_{21}\left[\phi_0(\tau)(1-r) + \phi_1(\tau)r - \sum_{m=1}^{\infty} Z_m(\tau)m^2\pi^2\sin(m\pi r)\right] + \\
 &+ A_{22}\left[\psi_0(\tau)(1-r) + \psi_1(\tau)r - \sum_{m=1}^{\infty} W_m(\tau)m^2\pi^2\sin(m\pi r)\right].
 \end{aligned} \tag{21}$$

В соответствии с п. 2 алгоритма применения метода быстрых разложений в уравнениях (21) следует положить $r = 0$ и $r = 1$, после чего будем иметь четыре уравнения:

$$r = 0 : A_{11}\varphi_0(\tau) + A_{12}\psi_0(\tau) = 0, \quad A_{21}\varphi_0(\tau) + A_{22}\psi_0(\tau) = 0, \tag{22}$$

$$r = 1 : \phi'(\tau) = A_{11}\phi_1(\tau) + A_{12}\psi_1(\tau), \quad \psi'(\tau) = A_{21}\phi_1(\tau) + A_{22}\psi_1(\tau). \tag{23}$$

Из (22) найдем

$$\varphi_0(\tau) = \psi_0(\tau) = 0. \tag{24}$$

Неизвестные $Z_m(\tau)$, $W_m(\tau)$ определим с помощью п. 3 из алгоритма. Для этого левые и правые части системы (21) после упрощений с помощью (24) умножим на $\sin(m\pi r)$ и проинтегрируем по r в пределах $[0, 1]$:

$$\begin{aligned} \frac{(-1)^m \varphi_1'(\tau)}{m^3 \pi^3} + \frac{1}{2} Z_m'(\tau) &= -A_{11} \frac{1}{2} \pi^2 m^2 Z_m(\tau) - A_{12} \frac{1}{2} \pi^2 m^2 W_m(\tau), \\ \frac{(-1)^m \psi_1'(\tau)}{m^3 \pi^3} + \frac{1}{2} W_m'(\tau) &= -A_{21} \frac{1}{2} \pi^2 m^2 Z_m(\tau) - A_{22} \frac{1}{2} \pi^2 m^2 W_m(\tau), \quad m = 1 \div N. \end{aligned} \quad (25)$$

После подстановки Z и W из (20) в (10) при $r = 1$, будем иметь:

$$\begin{aligned} \frac{1}{3} \varphi_1(\tau) + a_1 \varphi + a_2 \psi + \sum_{m=1}^N Z_m(\tau) m \pi (-1)^m &= a_1 + a_2 \frac{u_p}{u_0} - q_t \exp(-\alpha \tau), \\ \frac{1}{3} \psi_1(\tau) - b_1 \varphi + b_2 \psi + \sum_{m=1}^N W_m(\tau) m \pi (-1)^m &= -b_1 + b_2 \frac{u_p}{u_0} + q_u \exp(-\alpha \tau). \end{aligned} \quad (26)$$

Относительно функций $\varphi(\tau)$, $\psi(\tau)$, $\varphi_1(\tau)$, $\psi_1(\tau)$, $Z_m(\tau)$, $W_m(\tau)$ получили замкнутую систему: (23), (25) и (26). Начальные условия для них найдем с помощью (12). Для этого подставим $Z = rT$ и $W = rU$ из (20) в начальные условия (12):

$$\begin{aligned} r \varphi(0) + \varphi_1(0) \left(\frac{r^3}{6} - \frac{r}{6} \right) + \sum_{m=1}^N Z_m(0) \sin m \pi r &= 0, \\ r \psi(0) + \psi_1(0) \left(\frac{r^3}{6} - \frac{r}{6} \right) + \sum_{m=1}^N W_m(0) \sin m \pi r &= r. \end{aligned} \quad (27)$$

В соответствии с алгоритмом применения быстрого разложения (п. 2, 3) в (27) положим $r = 0$, $r = 1$; затем обе части (27) дважды продифференцируем по r и вновь возьмем $r = 0$, $r = 1$;

$$(r = 1) \Rightarrow \varphi(0) = 0, \quad \psi(0) = 1; \quad \left(\partial^2 / \partial r^2 \Big|_{r=1} \right) \Rightarrow \varphi_1(0) = \psi_1(0) = 0. \quad (28)$$

Обе части (27) умножим на $\sin m \pi r$ и проинтегрируем по $r \in (0, 1]$.

Из полученного уравнения найдем следующие начальные условия:

$$\psi(0) = 1, \quad \varphi(0) = \varphi_1(0) = \psi_1(0) = Z_m(0) = W_m(0) = 0; \quad m = 1 \div N. \quad (29)$$

Таким образом, получена замкнутая система уравнений (23), (25), (26) относительно функций $\varphi(\tau)$, $\psi(\tau)$, $\varphi_1(\tau)$, $\psi_1(\tau)$, $Z_m(\tau)$, $W_m(\tau)$ ($m = 1 \div N$) с начальными условиями (29). Решение этой системы можно получить либо с помощью стандартной программы на ЭВМ, либо классическим методом, описанным в литературе [11], которое с учетом обозначений

$$\varphi(\tau) = y_1(\tau), \quad \psi(\tau) = y_2(\tau), \quad Z_m(\tau) = y_{m+2}(\tau), \quad W_m(\tau) = y_{m+2+N}(\tau), \quad m = 1 \dots N \quad (30)$$

представим зависимость

$$y_k(\tau) = D_k + G_k \exp(-\alpha \tau) + \sum_{j=1}^{2(1+N)} E_j C_{kj} \exp(\lambda_j \tau), \quad (31)$$

где D_k, G_k, C_{kj}, E_j — постоянные коэффициенты, λ_j — характеристические корни.

С помощью зависимости (31), с учетом обозначений (30) из (20), найдем T и U в явном аналитическом виде, которые точно удовлетворяют начальным (12) и граничным (10) условиям и приближенно дифференциальным уравнениям системы (15).

Таблица

Максимальные невязки δ второго дифференциального уравнения из (15)

N	$\tau=0$	$\tau=0,1$	$\tau=0,5$
$N=1 (r=0,8)$	$\delta=9,6 \cdot 10^{-2}$	$\delta=6,5 \cdot 10^{-3}$	$\delta=6,4 \cdot 10^{-4}$
$N=0,2 (r=0,89)$	$\delta=4,8 \cdot 10^{-2}$	$\delta=1,1 \cdot 10^{-3}$	$\delta=2,4 \cdot 10^{-4}$
$N=3 (r=0,92)$	$\delta=3,5 \cdot 10^{-2}$	$\delta=6,1 \cdot 10^{-4}$	$\delta=1,2 \cdot 10^{-4}$

Величина максимальной невязки уравнений (15) даже при $N = 1$ весьма незначительная и с ростом времени τ быстро уменьшается (см. табл.). Невязка первого дифференциального уравнения системы (15) примерно в два раза меньше, чем второго. При учете двух, трех слагаемых в рядах Фурье (20) точность быстро возрастает, невязка быстро уменьшается.

Полученные результаты и их обсуждение

Из анализа рядов (20) следует, что для инженерных целей в этих рядах можно ограничиться только одним первым слагаемым и приближенное решение представить суммой граничных функций и первых членов быстрых рядов:

$$T \approx \frac{1}{r} [M_z + Z_1(\tau) \sin \pi r], \quad U \approx \frac{1}{r} [M_w + W_1(\tau) \sin \pi r].$$

Подобные случаи быстрой сходимости известны. Так, например, в работе [12] при решении задачи о кручении упругого стержня прямоугольного сечения показано, что в используемых рядах достаточно ограничиться только первым слагаемым.

В частности, с помощью (20) можно найти закон изменения T и U в центре зерна:

$$T(0, \tau) = \varphi(\tau) - \frac{1}{6} \varphi_1(\tau) + \sum_{m=1}^N m\pi Z_m(\tau), \quad U(0, \tau) = \psi(\tau) - \frac{1}{6} \psi_1(\tau) + \sum_{m=1}^N m\pi W_m(\tau).$$

Распределения температуры и влагосодержания при $\alpha = 10$, вычисленные по данным работы [13]:

$$A_{11} = 1,1; \quad A_{12} = 0,1; \quad A_{21} = A_{22} = 1; \quad a_1 = b_1 = b_2 = 0,05; \quad a_2 = 0; \quad u_p/u_0 = 0 \quad (32)$$

(что соответствует $Lu = 1$, $P_n = 1$, $Ko = 0,1$, $Bi_m = 0,05$, $Bi_q = 0,05$ и $\varepsilon = 1$), показаны на рис. 1. Отсюда видно, что при малых числах Bi_m и Bi_q температура T и влагосодержание U незначительно зависят от r и существенно от времени сушки τ .

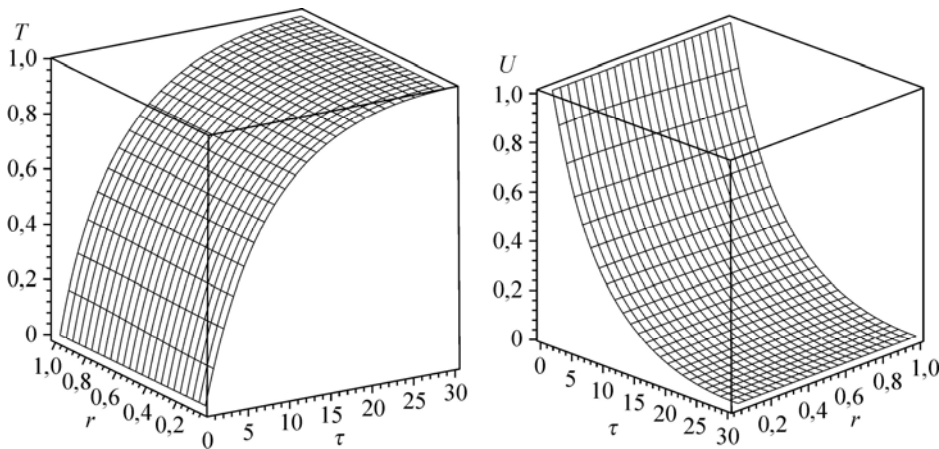


Рис. 1. Распределения температуры и влагосодержания по данным работы [13].

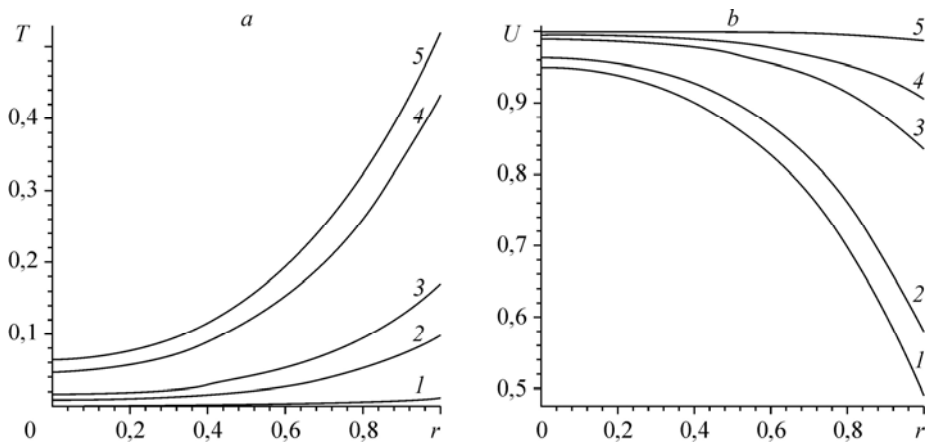


Рис. 2. Неравномерность профилей температуры и влагосодержания в зерне в зависимости от радиуса.

$$Bi_q(a) = Bi_m(b) = 0,05 (1), 0,5 (2), 1 (3), 5 (4), 10 (5).$$

При больших значениях числа Bi_q неравномерность температуры в зерне при нестационарном тепло- и массообмене будет существенной (рис. 2), что согласуется с работой [14]. Здесь же видно, что при больших значениях Bi_m в зерне наблюдается неравномерность влагосодержания. Кривые на рис. 2 получены по данным (32) при изменении Bi_m или Bi_q .

На рис. 3 представлено сравнение результатов численных экспериментов по предложенной математической модели с результатами, полученными в работе [13] (T и U при $r = 1$).

Для проверки адекватности предложенной математической модели процесса сушки зерна была использована модифицированная экспериментальная установка, основанная на материалах ВНИИЗа [15], которая оснащена системами автоматического регулирования температуры и расхода сушильного агента, измерения и записи температуры зерна в контрольных точках. Влажность высушенного зерна определялась методом высушивания проб в сушильном шкафу до постоянной массы при температуре 403 К в течение 40 минут.

Проведена серия экспериментов с различными параметрами агента сушки и значениями начальной влажности зерна. Результаты математического моделирования сопоставлялись с результатами проведенных экспериментов. На рис. 4 изображены распределения температуры и влагосодержания, полученные при $Lu = 0,001204$, $Pr = 0,27493 \cdot 10^{-5}$, $Kn = 2,1860$, $Bi_m = 3,7354$, $Bi_q = 0,015$ и $\varepsilon = 1$.

Для сравнения экспериментальных данных с результатами численных экспериментов по формулам [1]

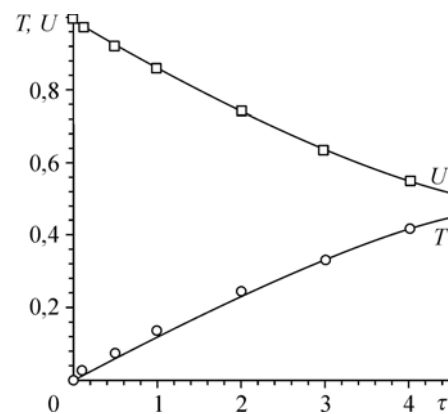


Рис. 3. Сравнение результатов численных экспериментов по предложенной математической модели (кривые) с результатами, полученными в работе [13] (символы).

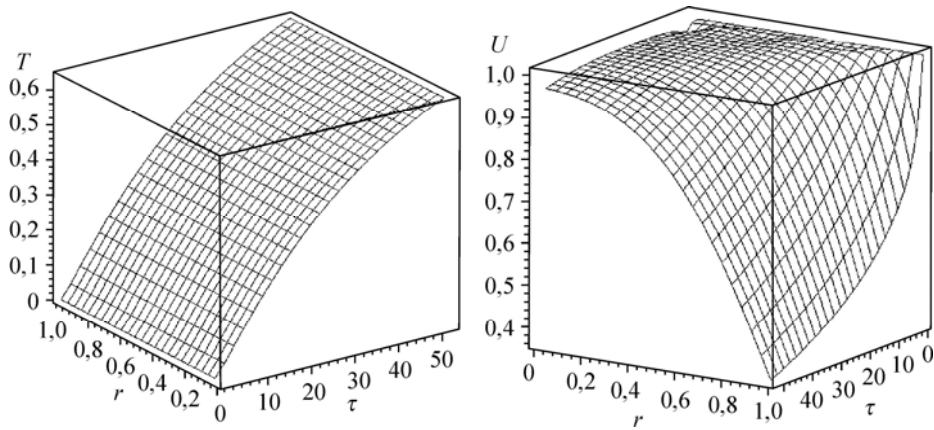


Рис. 4. Распределения температуры и влагосодержания по экспериментальным данным.

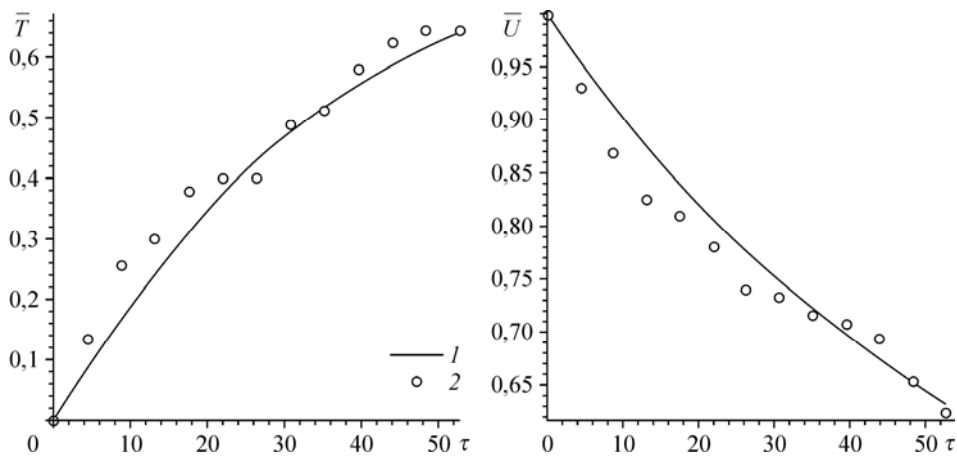


Рис. 5. Сравнение расчетных (1) и экспериментальных данных (2) для средних по объему T и U .

$$\bar{T}(\tau) = \frac{3}{R^3} \int_0^R r^2 T dr, \quad \bar{U}(\tau) = \frac{3}{R^3} \int_0^R r^2 U dr$$

были определены средние по объему значения температуры $\bar{T}(\tau)$ и влагосодержания $\bar{U}(\tau)$. Результаты сравнения отображены на рис. 5. Средняя относительная погрешность за время $\tau = 52,8$ для влагосодержания составляет $\approx 2\%$, а для температуры $\approx 9\%$.

Таким образом, можно сделать вывод, что математическая модель А.В. Лыкова и представленное аналитическое решение (20) в рамках сделанных допущений достаточно адекватно описывает реальный процесс сушки зерновых культур. Применение быстрых разложений, разработанных в работах [8, 9], для решения подобных задач тепломассообмена позволяет получить приближенное решение в аналитическом виде (20) с любой заданной точностью при минимальных вычислительных затратах на ЭВМ.

Список литературы

1. Лыков А.В., Михайлов Ю.А. Теория тепло- и массопереноса. М.-Л.: Госэнергоиздат, 1963. 536 с.

2. Полянин А.Д., Вязьмин А.В., Журов А.И., Казенин Д.А. Справочник по точным решениям уравнений тепло- и массопереноса. М.: Факториал, 1998. 368 с.
3. Котляр Я.М. Методы и задачи тепломассообмена. М.: Машиностроение, 1987. 320 с.
4. Пасконов В.М., Полежаев В.И., Чудов Л.А. Численное моделирование процессов тепло- и массообмена. М.: Наука, 1984. 288 с.
5. Ивлев Д.Д., Ершов Л.В. Метод возмущений в теории упругопластического тела. М.: Наука, 1978. 208 с.
6. Буренин А.А., Рагозина В.Е. К построению приближенных решений краевых задач ударного деформирования // Изв. РАН. МТТ. 2008. № 2. С. 106–113.
7. Горелова Е.И. Основы хранения зерна. М.: Агропромиздат, 1986. 136 с.
8. Чернышов А.Д. Улучшенные ряды Фурье и граничные функции // Актуальные проблемы прикладной математики, информатики и механики: сб. тр. междунар. конф. Ч. 2. Воронеж.: ВГУ, 2009. С. 236–238.
9. Чернышов А.Д. Улучшение дифференцируемости решений краевых задач механики в форме обобщенных рядов Фурье с помощью граничных функций // Изв. РАН. МТТ. 2010. № 1. С. 174–192.
10. Толстов Г.П. Ряды Фурье. М.: Наука, 1980. 384 с.
11. Степанов В.В. Курс дифференциальных уравнений. М.: ГИФМЛ, 1958. 468 с.
12. Тимошенко С.П., Гудьер Дж. Теория упругости. М.: Наука, 1979. 560 с.
13. Жидко В.И., Бомко А.С. Решение системы уравнений тепло- и массопереноса методом прямых // ИФЖ. 1966. Т. 11, № 3. С. 362–366.
14. Исаченко В.П., Осипова В.А., Сукомел А.С. // Теплопередача. М.: Энергия, 1975. 488 с.
15. Жидко В.И., Резчиков В.А., Уколов В.С. Зерносушение и зерносушилки. М.: Колос, 1982. 239 с.

*Статья поступила в редакцию 10 сентября 2011 г.,
после переработки — 16 ноября 2011 г.*